

# Нестабильность вращающихся бозе-звёзд

Пушная Е.К.  
443 группа

МГУ им. М. В. Ломоносова  
Физический факультет  
Кафедра физики частиц и космологии

Научные руководители: Левков Д.Г., Панин А.Г.  
Рецензент: Нугаев Э.Я.

Москва 2020 г.

## Введение

- Бозе-звёзды - это гравитационно связанные сгустки конденсата Бозе - Эйнштейна [1,2].
- В данной работе мы остановим внимание на нерелятивистских бозе-звёздах [6].
- Такие объекты могут появляться во Вселенной при конденсации бозонов тёмной материи, например, аксионов [7].
- Они могут сформироваться в центре структур тёмной материи [8].
- Исследование способов наблюдения бозе-звёзд и их физики является активно развивающимся разделом космологии [7,8,9,10,11].

Мы рассмотрим вращающуюся бозе-звезду в нерелятивистском случае и получим численно её профиль в 3+1 измерениях. Мы покажем также, что все звёзды с ненулевым угловым моментом распадаются.

Мы будем работать в системе  $\hbar = c = k = 1$ .

## Постановка задачи

$$i\partial_t\psi = -\frac{\Delta\psi}{2m} + mU\psi, \quad (1a)$$

$$\Delta U = 4\pi mG|\psi|^2, \quad (1b)$$

При этом массу звезды и её энергию мы определяем как:

$$M = m \int d^3x |\psi|^2,$$

$$E = \int d^3x [|\nabla\psi|^2/2m + mU|\psi|^2/2].$$

## Вращающееся решение

Запишем стационарное решение уравнений (1) в виде:

$$\psi(r, \phi, z, t) = \psi_s(r, z)e^{i\ell\phi - i\omega t}.$$

Подставляя данный анзац в систему, мы получаем уравнение на  $\psi_s(r, z)$ .

$$\omega\psi_s = -\frac{\Delta_{rz}\psi_s}{2m} + \frac{\ell^2}{2mr^2}\psi_s + mU\psi_s,$$

$$\Delta_{rz}U = 4\pi mG|\psi_s|^2.$$

Эти уравнения мы будем решать численно, но сначала их нужно обезразмерить. В итоге получится:

$$\Delta_{rz}\psi_s = \frac{\ell^2}{r^2}\psi_s + 2U\psi_s,$$

$$\Delta_{rz}U = 4\pi|\psi_s|^2.$$

Звезда с  $l=0$ 

Если положить в уравнениях  $l=0$ , задача сводится к одномерной и потому легко решается.

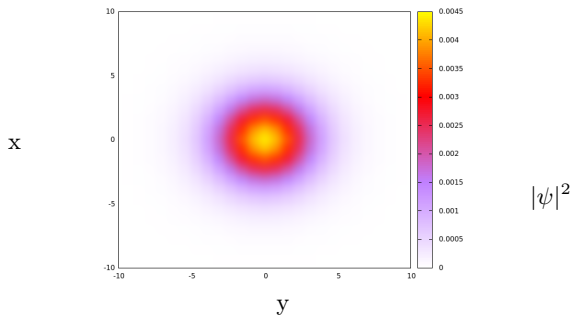


Рис. 1: Сечение звезды с  $l=0$ :  $|\psi|^2$

Звезда с  $l=1$ 

Полагая в уравнении  $l=1$ , мы приходим к первой из вращающихся звёзд.

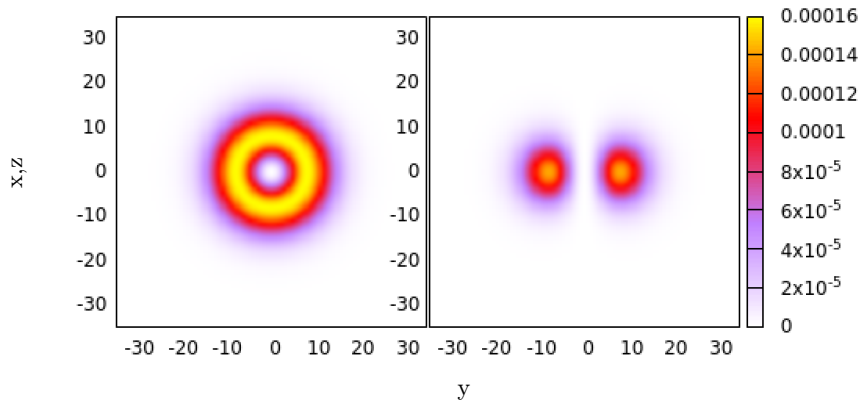


Рис. 2: Сечения звезды с  $l=1$ :  $|\psi|^2$

## Параметры эволюции

Зависимость  $|\psi|_{max}$  - максимального по всей решётке модуля функции - от времени даёт хорошее представление о важных этапах распада звезды:

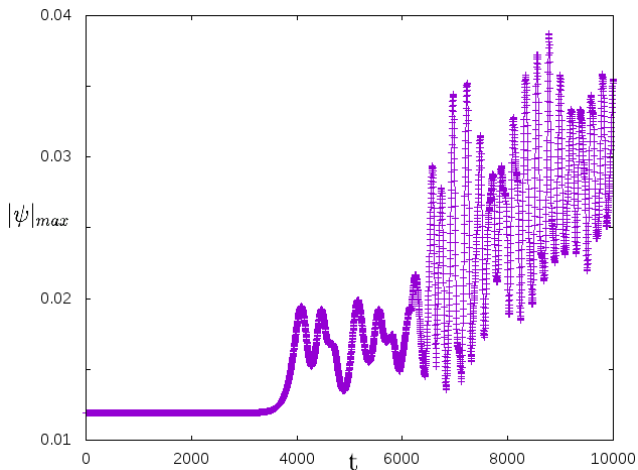


Рис. 3:  $|\psi|_{max}$  как функция  $t$ .

## Проекторы

Мы определяем четыре проектора для выделения мод распада из эволюционирующей звезды. Каждая такая мода  $P_m\psi$  имеет фиксированный момент вращения  $m$ :

- $P_0\psi = \frac{1}{4} [\psi(i, j, k) + \psi(N - j, i, k) + \psi(N - i, N - j, k) + \psi(j, N - i, k)],$
- $P_1\psi = \frac{1}{4} [\psi(i, j, k) + i\psi(N - j, i, k) - \psi(N - i, N - j, k) - i\psi(j, N - i, k)],$
- $P_2\psi = \frac{1}{4} [\psi(i, j, k) - \psi(N - j, i, k) + \psi(N - i, N - j, k) - \psi(j, N - i, k)],$
- $P_3\psi = \frac{1}{4} [\psi(i, j, k) - i\psi(N - j, i, k) - \psi(N - i, N - j, k) + i\psi(j, N - i, k)].$

Раз в 20 шагов мы вычисляем  $\psi_m = P_m\psi$ . Затем мы вычисляем массу каждой моды  $\psi_m$  и максимальное значение каждого  $|\psi_m|$ .



## Моды распада

Мы строим график зависимости логарифма  $\max|\psi_m|$  от времени и получаем следующее.

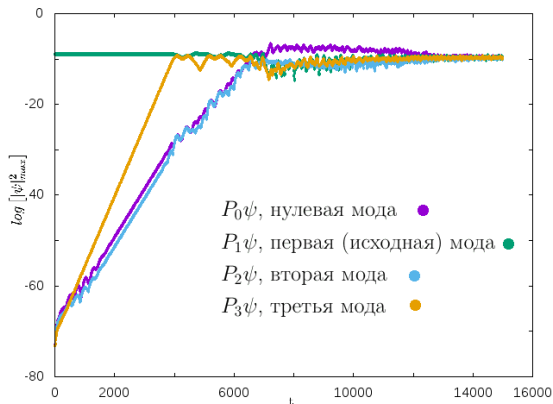


Рис. 4:  $\log [|\psi_m^2|_{max}]$  как функции  $t$  для  $m=0$  (фиолетовая), 1 (зелёная), 2 (голубая) и 3 (жёлтая).

## Перешкалировка и двумерные уравнения

Чтобы исследовать звёзды с высоким моментом и проанализировать их поведение при  $l \rightarrow \infty$ , мы перешкалируем в уравнениях (1) координаты и поля следующим образом:

$$\begin{aligned} r &= l^2 r_0 + l x_2, \\ z &= l y_2, \\ \psi &= l^{-2} \psi_2(x_2, y_2), \\ U &= l^{-2} \left[ U_2(x_2, y_2) - \frac{1}{2m^2 r_0^2} \right] + \frac{\omega}{m}, \end{aligned}$$

где  $(x_2, y_2)$  - прямоугольные двумерные координаты. Перешкалированные уравнения в главном порядке по  $l^{-1}$  совпадают с уравнениями на двумерную звезду:

$$\Delta_2 \phi - 2U \phi = 0,$$

$$\Delta_2 U = 4\pi \phi^2.$$

Поэтому стабильность звёзд с высоким моментом напрямую связана со стабильностью двумерных решений.

## Решение и возмущения в 2D

Полученное решение выглядит так:

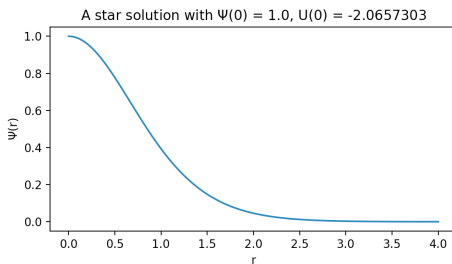


Рис. 5:  $|\psi|$  как функция  $r$ .

Нам нужно рассмотреть возмущения над этим решением,  $\phi \rightarrow \phi + (u + iv) \cos(p_z z) e^{\mu t}$ ,  $U \rightarrow U + A \cos(p_z z) e^{\mu t}$ . Для этого мы обращаемся к уравнениям, полученным при подставлении возмущений в изначальные:

$$\begin{aligned} 2\mu u &= (-\Delta_2 + 2U + p_z^2)v, \\ 2\mu v &= -(-\Delta_2 + 2U + p_z^2)u - 2\psi A, \\ \Delta_2 A &= p_z^2 A + 8\pi\psi u. \end{aligned}$$

$\mu$  и  $p_z$ 

Мы строим зависимость  $\mu$  от  $p_z$  и получаем следующее:

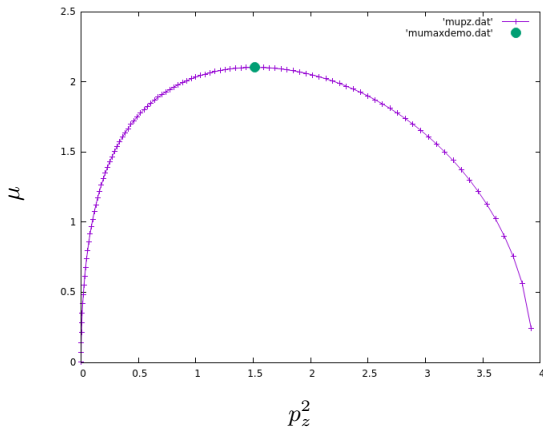


Рис. 6:  $\mu$  как функция  $p_z^2$ .

При этом  $\mu_{max} = 2.1029839$ ,  $p_{z,max}^2 = 1.512627$ . Максимальные  $p_z$  и  $\mu$  соответствуют моде распада.

## Моды распада

Вернёмся к рассмотрению трехмерной звезды. Все её параметры можно выразить через двумерные величины. Возмущения для звезды с большим  $l$  мы вводим несколько иначе.

$$\psi = e^{il\phi - i\omega t} (\psi_s(r, z) + u + iv),$$

$$U = U_s(r, z) + A,$$

Возмущения пропорциональны  $e^{in\phi + \gamma t}$ , и, чтобы наблюдать их на фоне перешкалированных ранее уравнений, мы их подвергнем похожему преобразованию:

$$u_{rsc}, v_{rsc} = l^{-2} u, v,$$

$$A_{rsc} = l^{-2} A.$$

Добавив возмущения в уравнения и произведя преобразования, в том числе учтя фазу, мы приходим к следующим уравнениям на  $u, v$  и  $A$ :

$$-\left(l^2\gamma + \frac{in}{mlr_0^2}\right)v_{rsc} = -\frac{\Delta_2 u_{rsc}}{2m} + \frac{n^2 u_{rsc}}{2mr_0 l^2} + mA_{rsc}\psi_2 + mU_2 u_{rsc},$$

$$-\left(l^2\gamma + \frac{in}{mlr_0^2}\right)u_{rsc} = -\frac{\Delta_2 v_{rsc}}{2m} + \frac{n^2 v_{rsc}}{2mr_0 l^2} + mU_2 v_{rsc},$$

$$\Delta_2 A_{rsc} = 8\pi Gm\psi_2 u_{rsc}.$$

## Характеристики мод распада

Так что мы можем использовать наш анализ двумерных бозе-звёзд для вычисления экспоненты моды распада:

$$Re\gamma = l^{-2}\mu = G^2 M^2 m^3 \frac{\mu_{max}}{2\pi r_{0rsc} M_{2rsc} l^2},$$

$$n = r_0 p_{z,max} l = \frac{r_{0rsc}^{1/2} p_{z,max rsc} l}{(2\pi)^{1/2} M_{2rsc}^{1/2}}.$$

Эти величины для каждого  $l$  можно получить численно. Таким образом, бозе-звезда распадается в  $n$  других мод, причём  $n$  пропорционально её моменту вращения.

## Заключение

В данной работе получены следующие результаты:

- Численно получена вращающаяся и бозе-звезда с  $l=1$  в  $3+1$  измерениях.
- Получена и подробно исследована эволюция звезды с угловым моментом  $l=1$ ; показано, что такая бозе-звезда распадается.
- Численно исследованы моды распада звезды с  $l=1$ .
- Показано, что любая нерелятивистская бозе-звезда с высоким моментом распадается.
- В дипломе также исследована точность численных решений.

## СПИСОК ИСПОЛЬЗОВАННЫХ ИСТОЧНИКОВ

- [1] R. Ruffini, S. Bonazzola, 1969.
- [2] I. I. Tkachev, 1986.
- [3] Caio F. B. Macedo et al, arXiv:1307.4812.
- [4] Burkhard Kleihaus, Jutta Kunx and Meike List, arXiv:qr-qc/0505143.
- [5] P. Sikivie, 2008.
- [6] D.G. Levkov, A.G. Panin, I.I. Tkachev, arXiv: 1804.05857.
- [7] D. G. Levkov, A. G. Panin, and I. I. Tkachev, 2017.
- [8] Vitor Cardoso, arXiv:1904.05363v3.
- [9] F. E. Schunck and E. W. Mielke, 2003.
- [10] J. Eby et al, 2016.
- [11] Davide Guerra, Caio F.B. Macedo, Paolo Pani, arXiv:1909.05515v2.